



## Gliederung

- Was sind feedforward loops (FFL)
- Struktur/Verschaltung
- Mathematisches Modell
  - Ecoli L-arabinose FFL
  - Ecoli Flagellensystem
- Übersicht kohärente FFL
- Übersicht inkohärente FFL
- Zusammenfassung/Diskussion



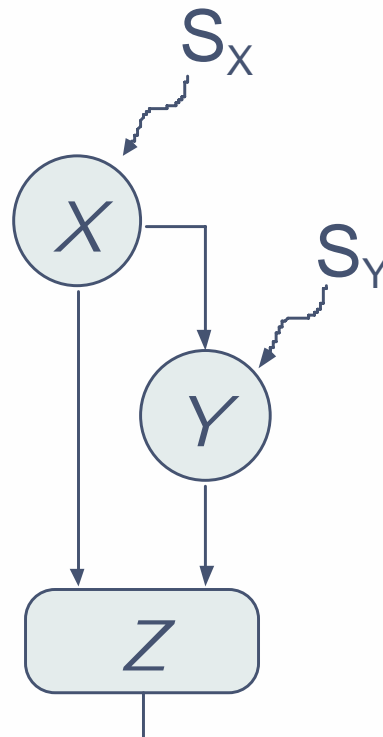
## Transkriptionsnetzwerke

- Informationsverarbeitende Prozesse
  - Input
  - Veränderte Transkriptionsaktivität
  - Bindung an spezifische Gene
  - Repression/Aktivierung (Inputfunktion)
  - Zellantwort
- Verbildlichung als gerichteter Graph



## Was sind FFL

Feed-Forward-Loop  $\leftrightarrow$  Simplex Regulationsmodell



X, Y Transkriptionsfaktoren

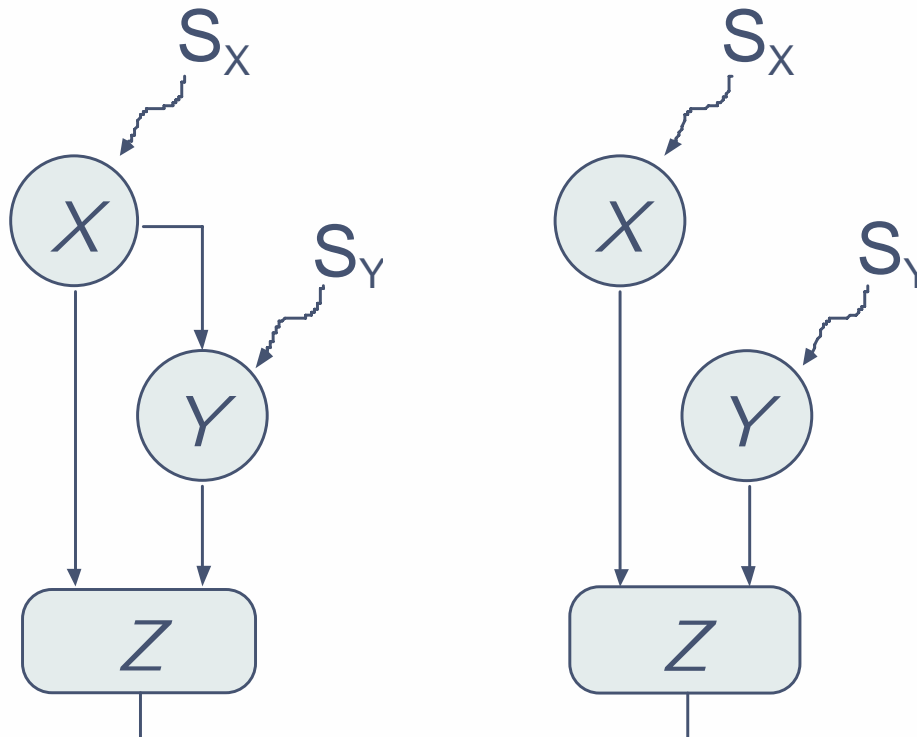
$S_x, S_y$  Inducer

Z (Target-) Gen



## Was sind FFL

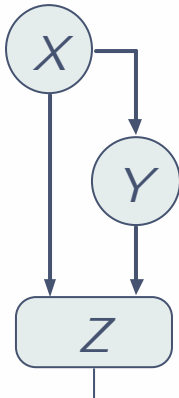
Feed-Forward-Loop  $\leftrightarrow$  Simplex Regulationsmodell



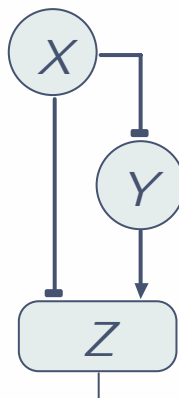


## Struktur

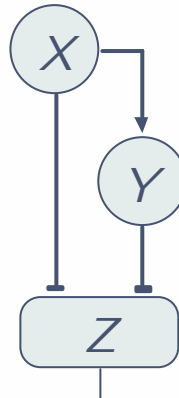
Typ 1



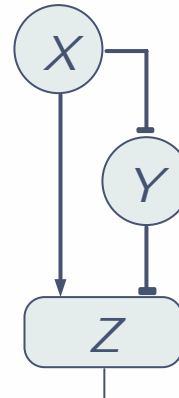
Typ 2



Typ 3

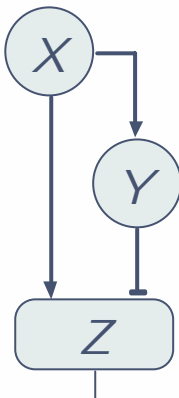


Typ 4

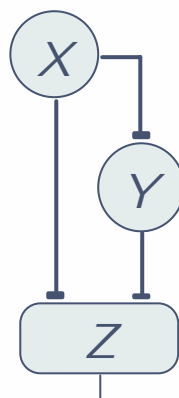


Kohärente  
FLL

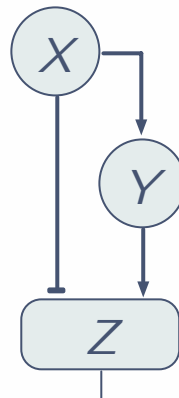
Typ 1



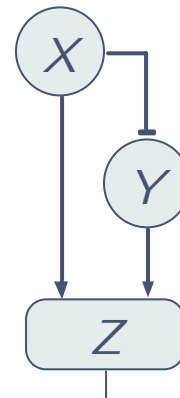
Typ 2



Typ 3



Typ 4

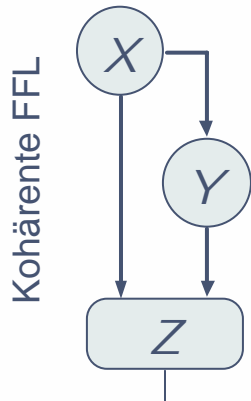


Inkohärente  
FFL



## Inputfunktion von Z

Typ 1

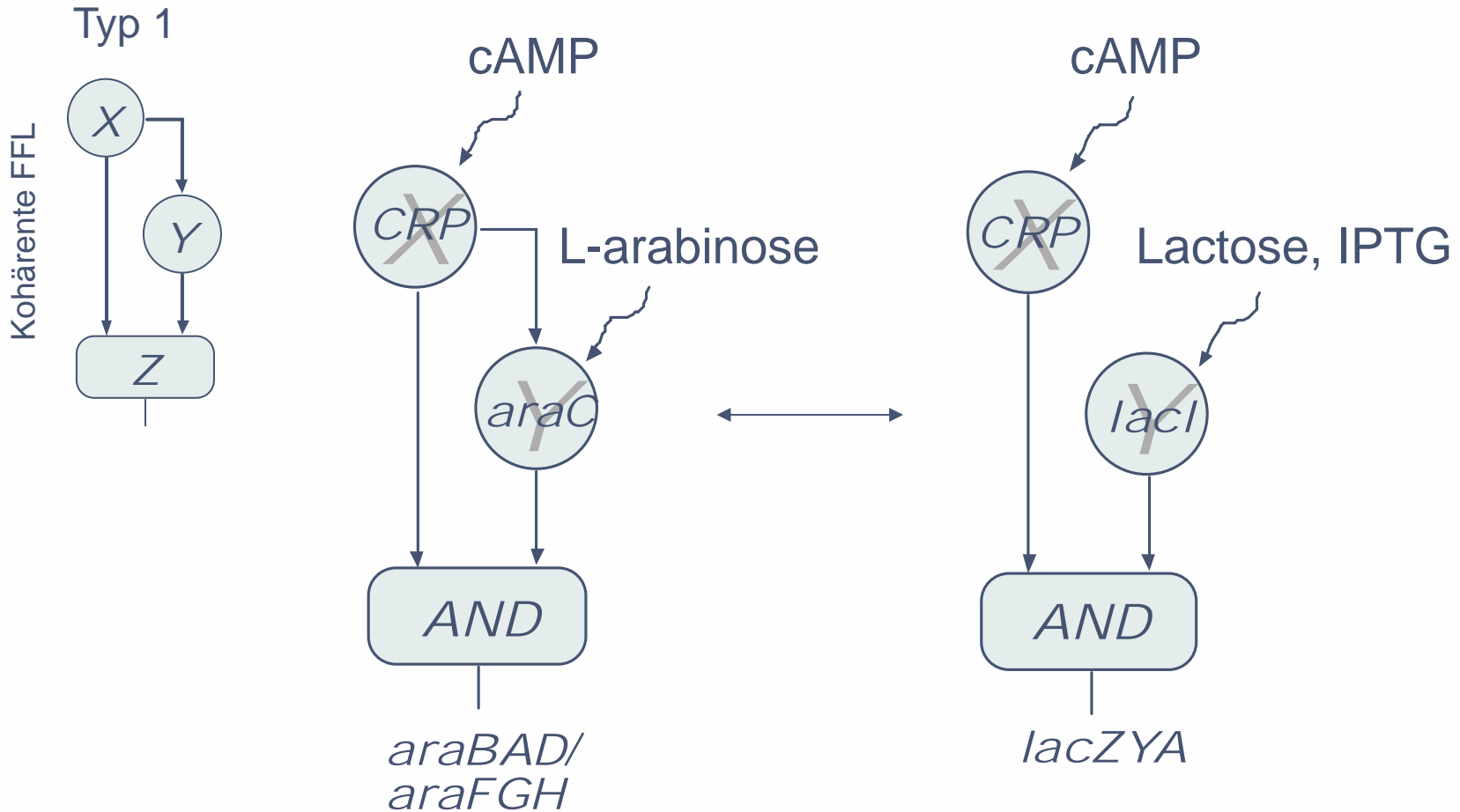


AND-Gatter : X und Y benötigt, um Z zu aktivieren

OR-Gatter : X oder Y reicht für Z-Aktivierung aus



## Typ1 kohärente FFL in E.coli mit AND-Gatter



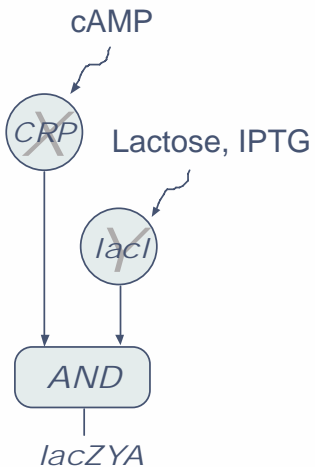
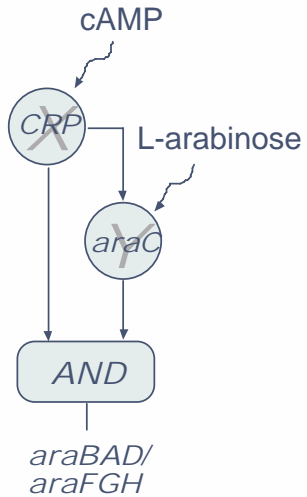


## Mathematisches Modell

Differentialgleichungen:

$$\frac{dY}{dt} = B_Y + \beta_Y f(X^*, K_{XY}) - \alpha_Y Y \quad (1)$$

$$\frac{dZ}{dt} = B_Z + \beta_Z G(X^*, K_{XZ}, Y^*, K_{YZ}) - \alpha_Z Z \quad (2)$$



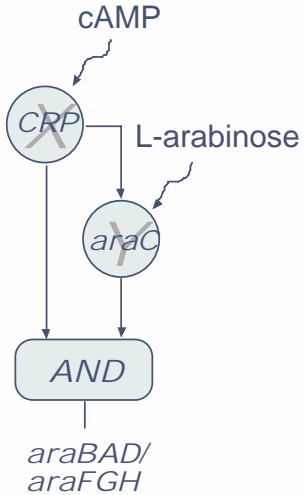




## Mathematisches Modell (cont)

Differentialgleichung:

$$\frac{dY}{dt} = B_Y + \beta_Y f(X^*, K_{XY}) - \alpha_Y Y \quad (1)$$

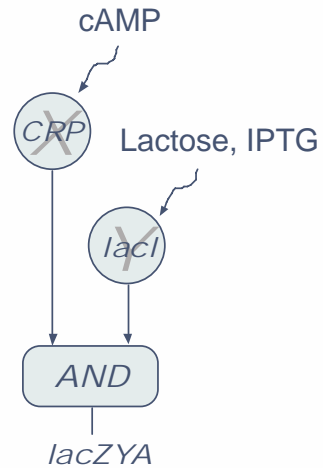


Aktivator:

$$f(u, K) = \frac{\left(\frac{u}{K}\right)^H}{1 + \left(\frac{u}{K}\right)^H}$$

Repressor:

$$f(u, K) = \frac{1}{1 + \left(\frac{u}{K}\right)^H}$$





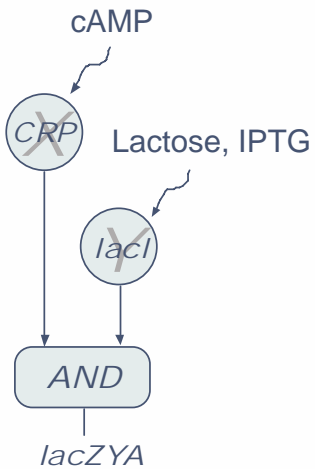
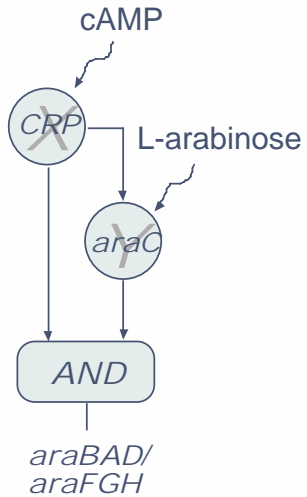
## Mathematisches Modell (cont)

Differentialgleichung:

$$\frac{dZ}{dt} = B_Z + \beta_Z G(X^*, K_{XZ}, Y^*, K_{YZ}) - \alpha_Z Z \quad (2)$$

AND-Gatefunktion:

$$G_Z = f(X^*, K_{XZ}) f(Y^*, K_{YZ})$$





## Synthese von Y

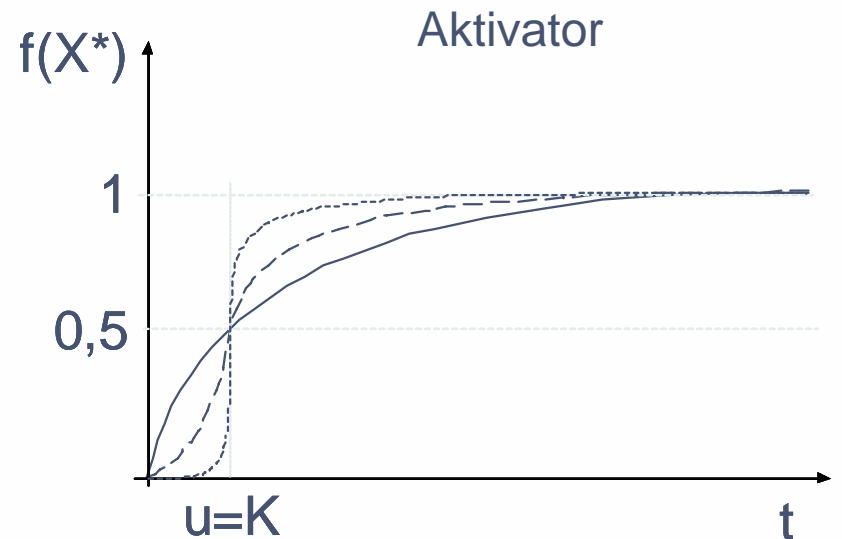
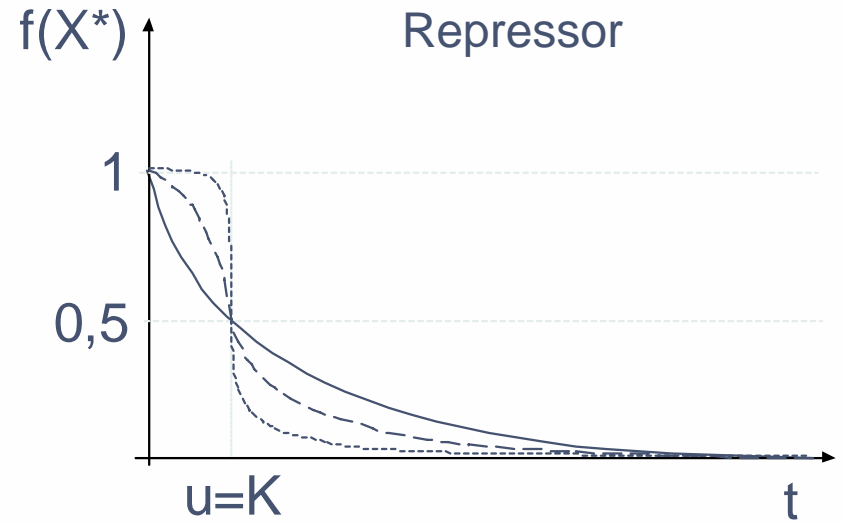
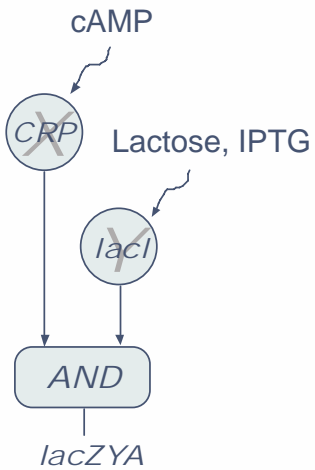
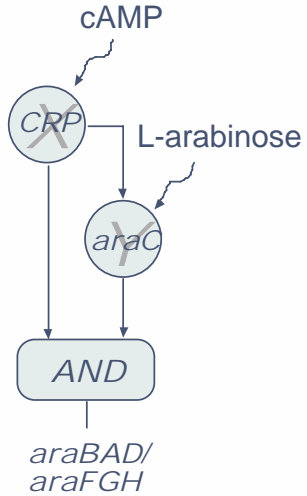
$X = \text{CRP}$  und  $S_X = \text{cAMP}$

$X = \text{inaktiv}$ , falls  $S_X = 0$

$X^* = \text{aktiv}$ , falls  $S_X = 1$

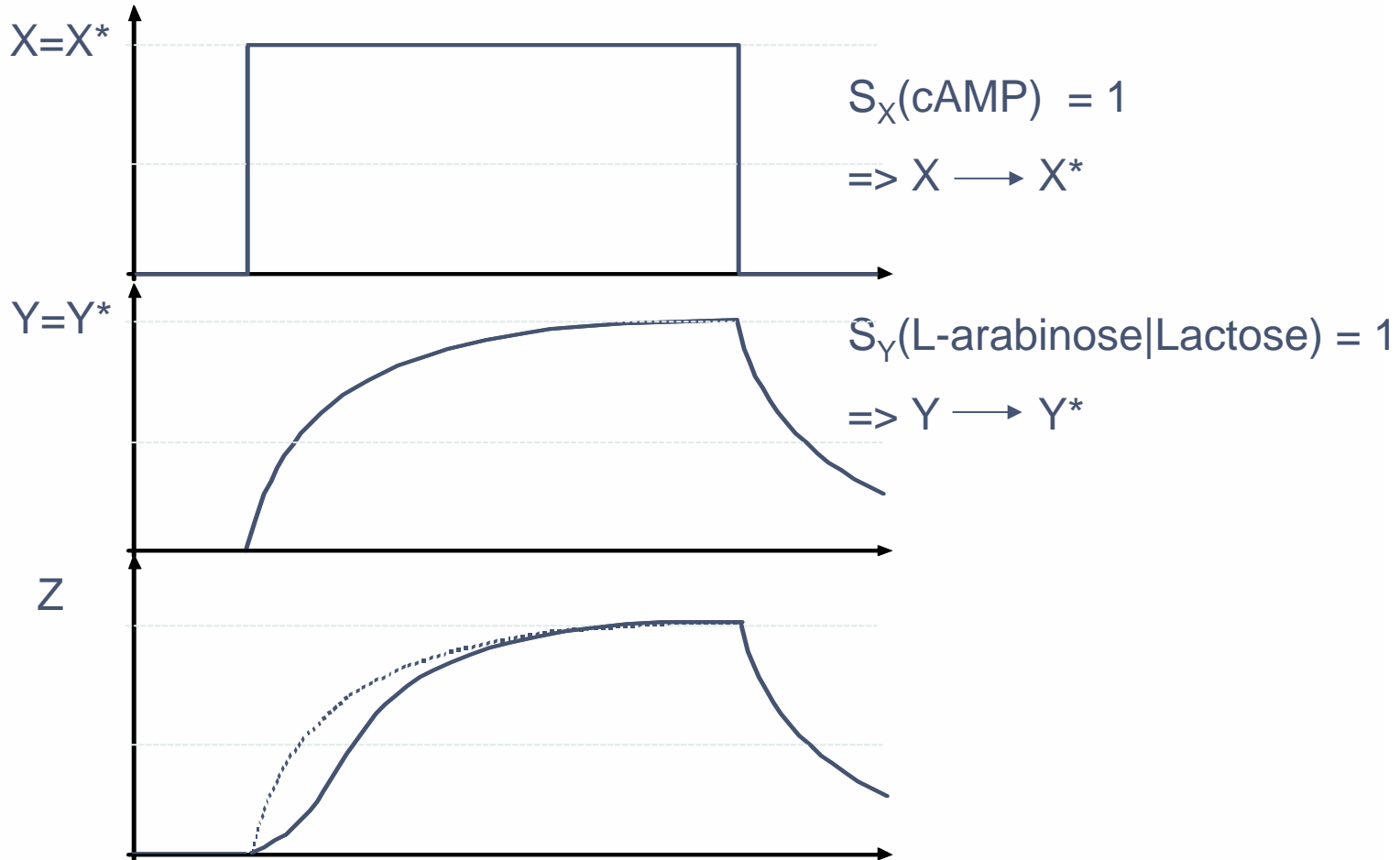
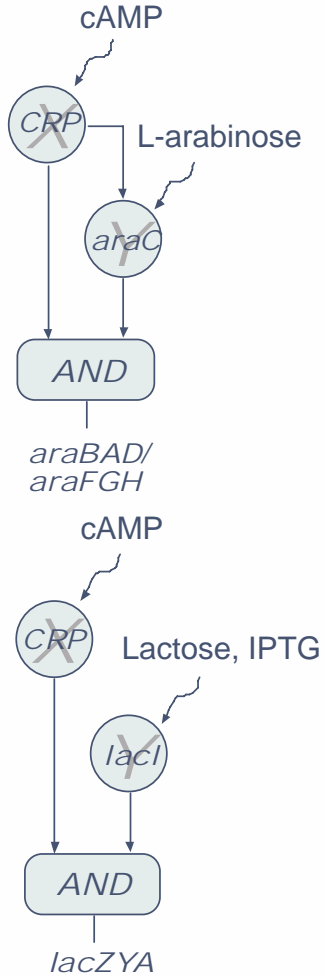
## Synthese von Y:

$$f(u, K) = \frac{\left(\frac{u}{K}\right)^H}{1 + \left(\frac{u}{K}\right)^H}$$



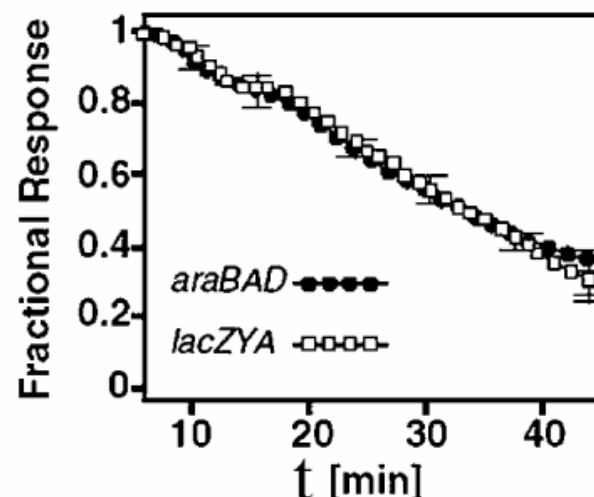
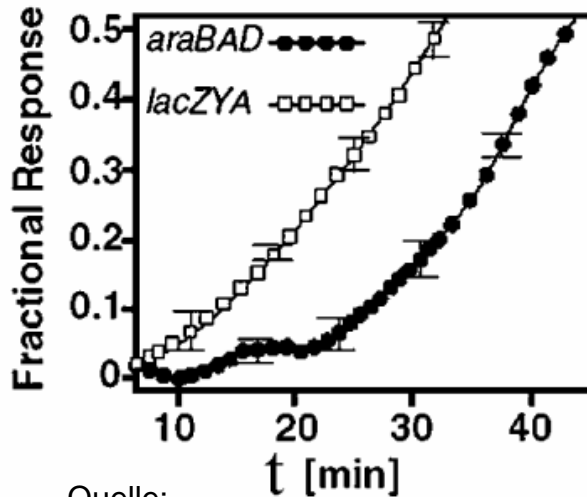
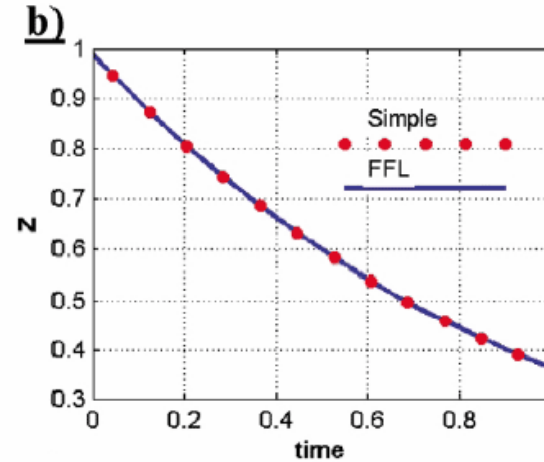
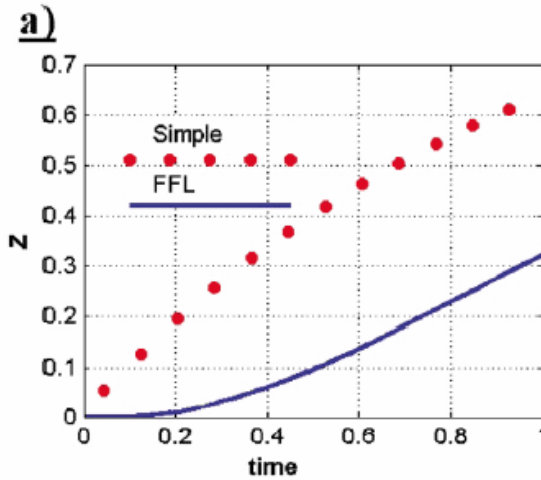
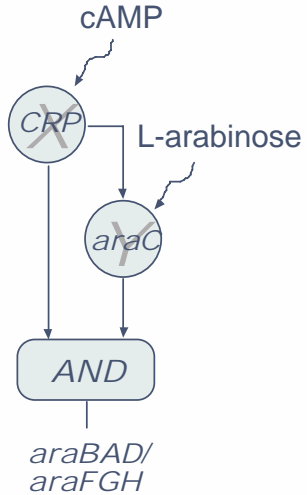


## Synthese von Z





## Simulation vs Experiment



Quelle:

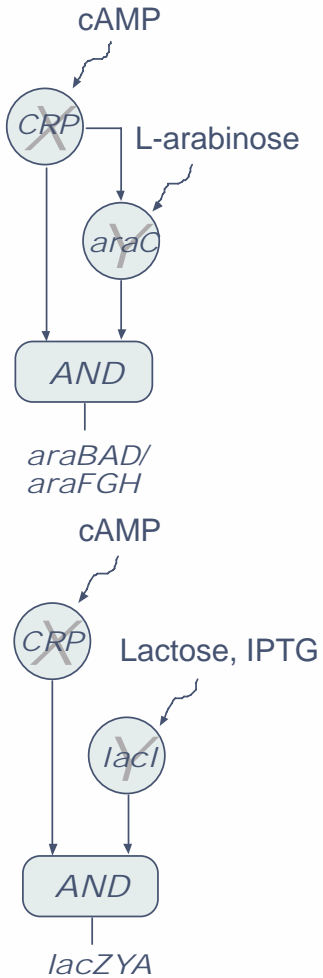
The Coherent Feedforward Loop Serves as a Signsensitive Delay Element in Transcription Networks



## Diskussion / biologischer Hintergrund

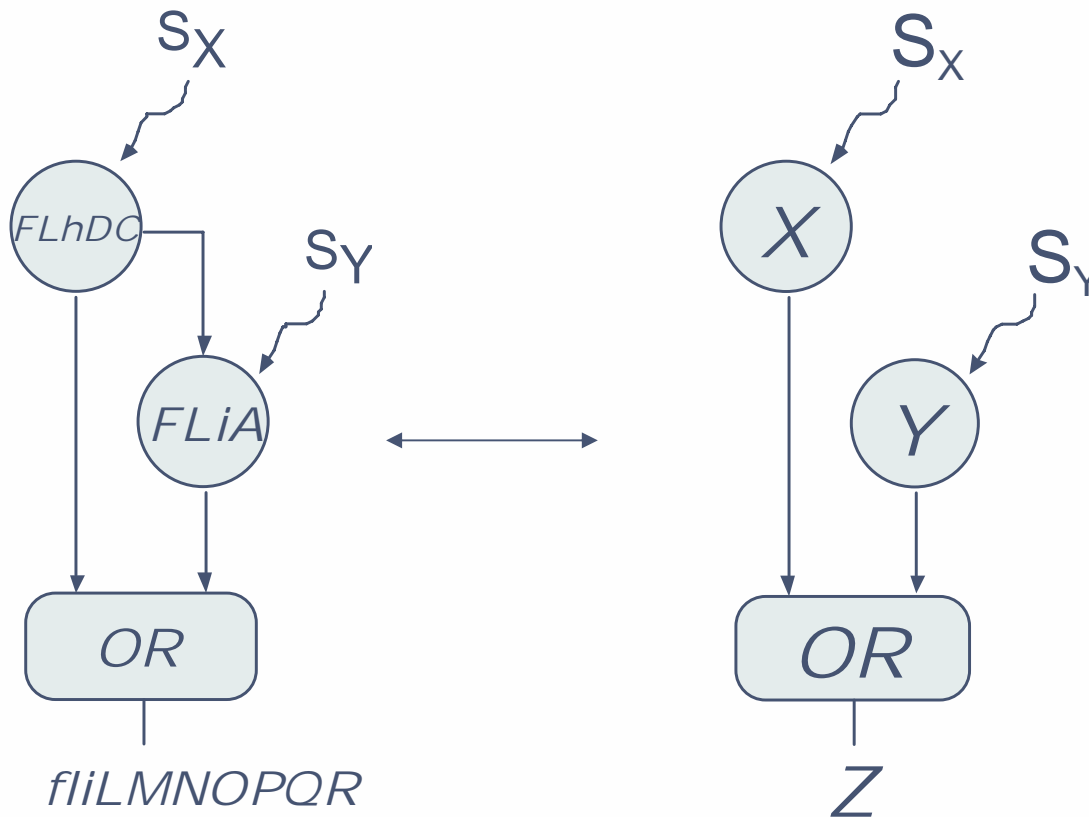
Welchen Vorteil bringt die asymmetrische Antwort auf cAMP-Präsenz?

- zwei E.coli Lebenszyklen (im/außerhalb des Wirts)
- Im Wirt: reiche Zuckervorkommen / nur kurze Glucosepulse
- araSystem arbeitet, wenn beide Inducer präsent
- Glucosevorkommen vorhanden
  - > araSystem schnell abgeschalten (Ressourcen sparen)
- Glucose von Wirt und E.coli rasch erschöpft
- Tolerierbare Verzögerung der Aktivierung des araSystems spart Ressourcen
- Persistenz-Detektor



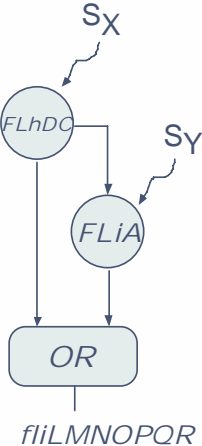


## Typ1 kohärente FFL in E.coli mit OR-Gatter





## Mathematisches Modell



Differentialgleichungen:

$$\frac{dY}{dt} = B_Y + \beta_Y f(X^*, K_{XY}) - \alpha_Y Y$$

$$\frac{dZ}{dt} = B_Z + \beta_Z G(X^*, K_{XZ}, Y^*, K_{YZ}) - \alpha_Z Z$$

Gatefunktion:

$$G = f_c(X^*, K_{XZ}, K_{YZ}, Y^*) + f_c(Y^*, K_{YZ}, K_{XZ}, X^*)$$



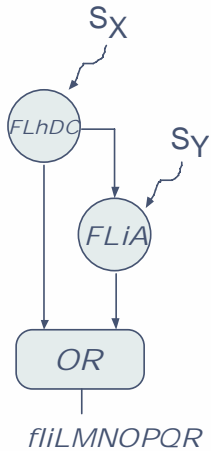


## Mathematisches Modell (cont)

Gatefunktion:

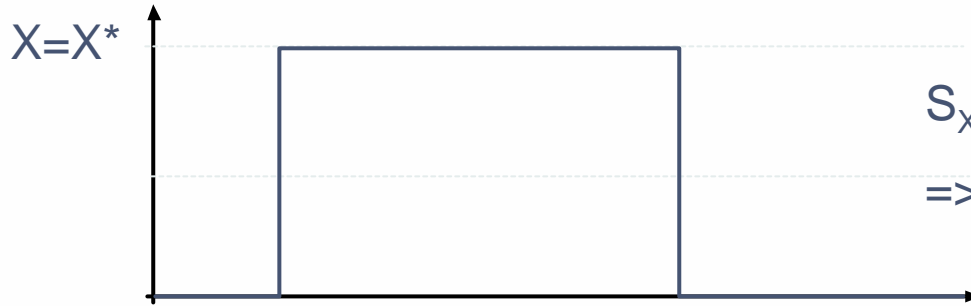
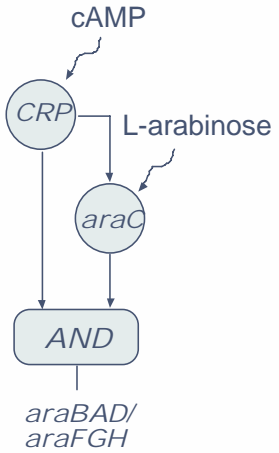
$$G_Z = f_c \left( X^*, K_{XZ}, K_{YZ}, Y^* \right) + f_c \left( Y^*, K_{YZ}, K_{XZ}, X^* \right)$$

$$f_c \left( u, K_u, K_v, v \right) = \frac{\left( \frac{u}{K_u} \right)^H}{1 + \left( \frac{u}{K_u} \right)^H + \left( \frac{v}{K_v} \right)^H}$$



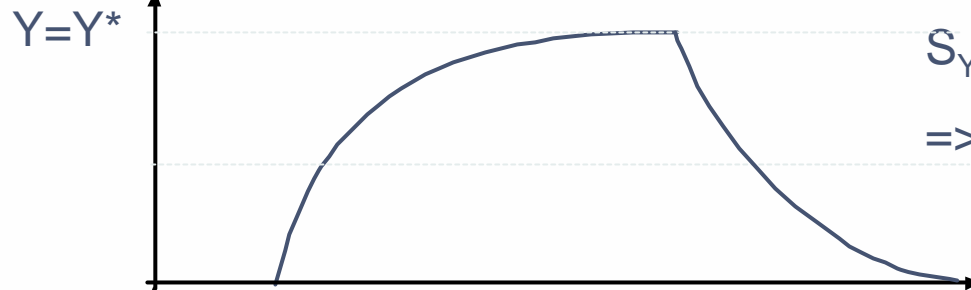


## Synthese von Z



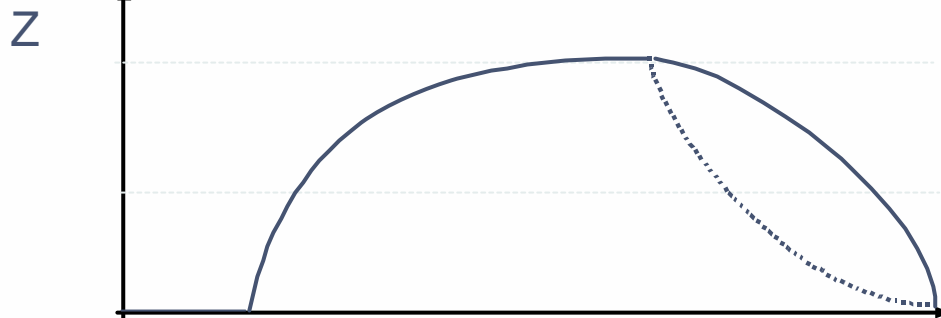
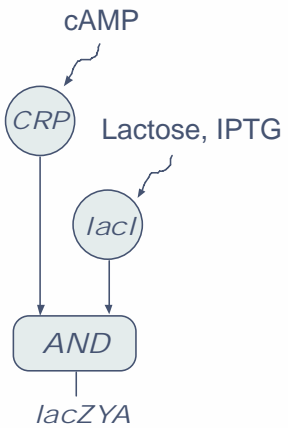
$$S_X(\text{cAMP}) = 1$$

$$\Rightarrow X \rightarrow X^*$$



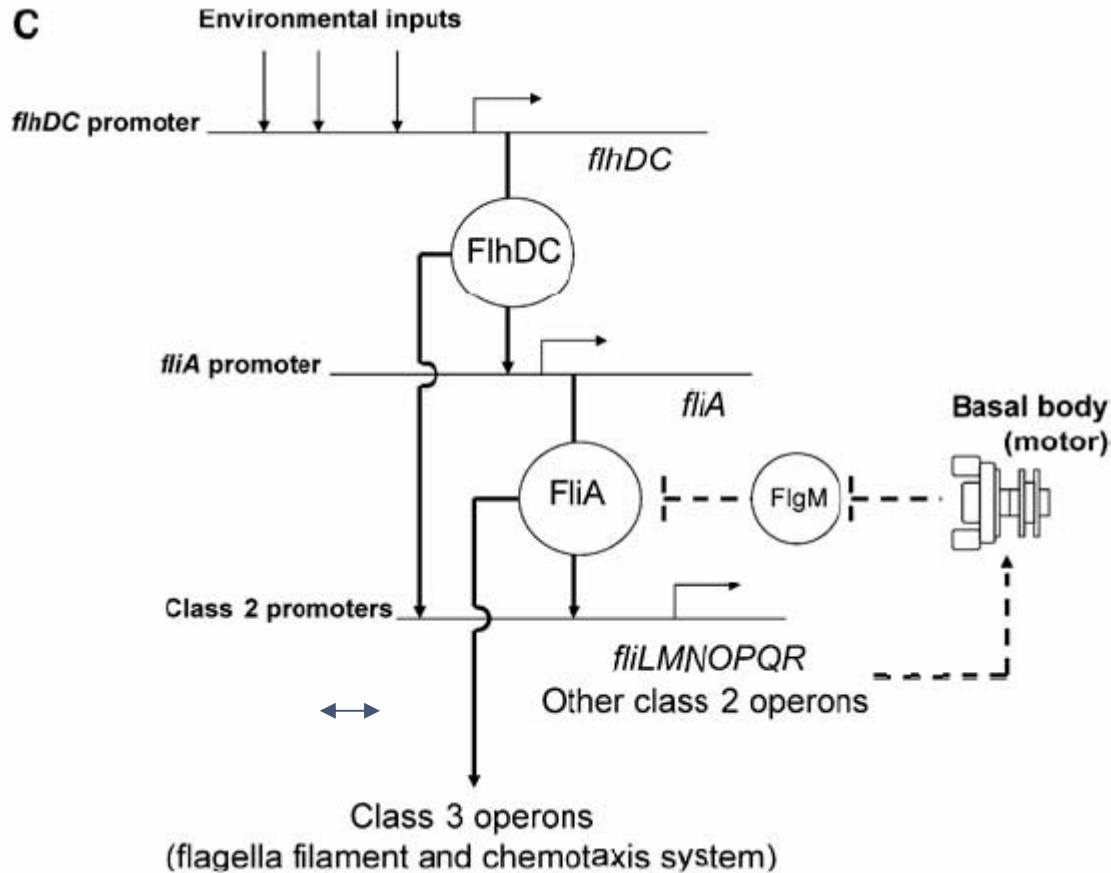
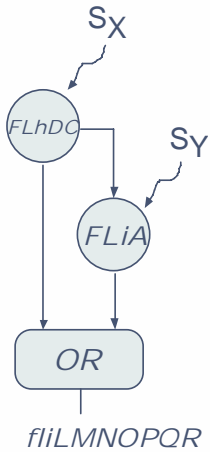
$$S_Y(\text{L-arabinose}|\text{Lactose}) = 1$$

$$\Rightarrow Y \rightarrow Y^*$$





## Synthese von Z

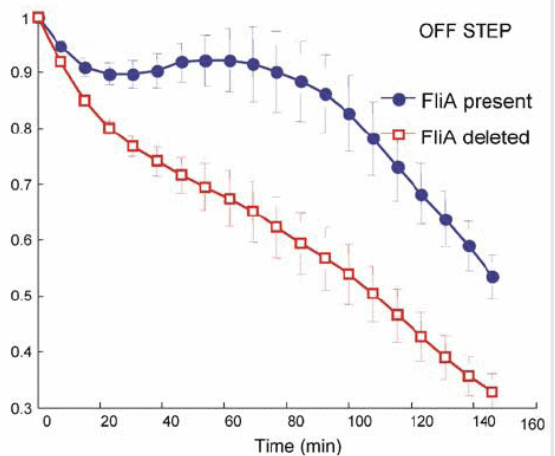
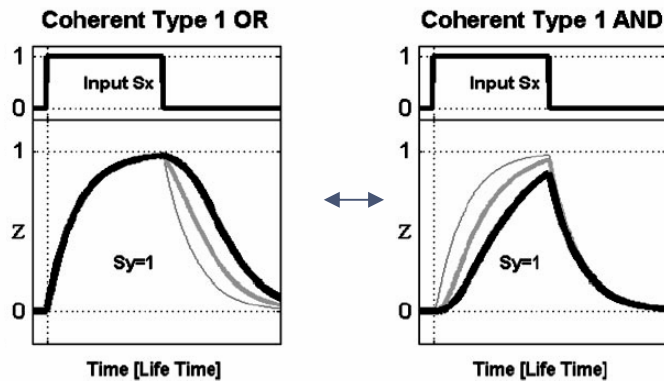
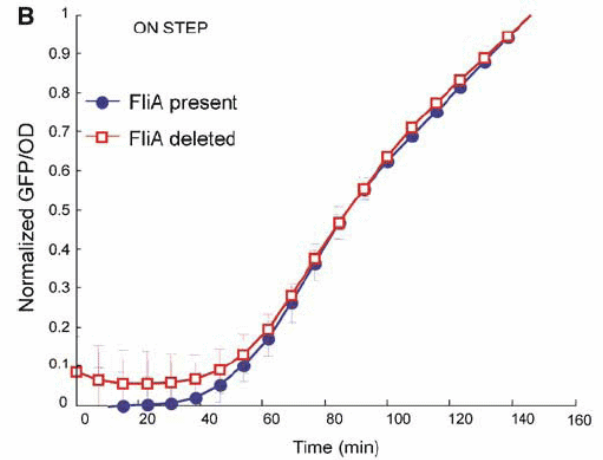
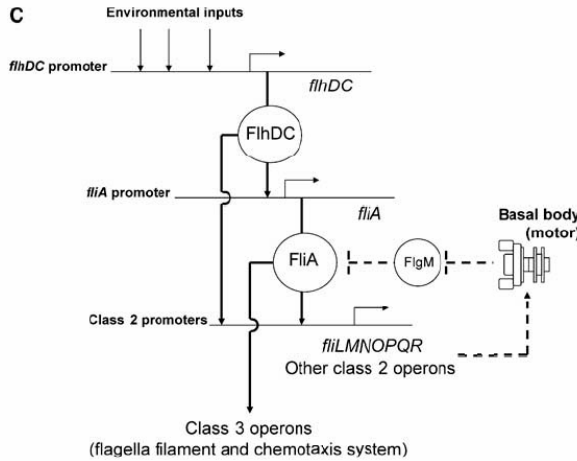
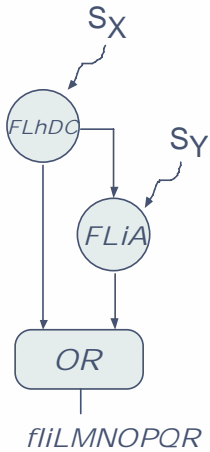


Quelle:

A coherent feed-forward loop with a SUM input function prolongs flagella expression in Escherichia coli



## Synthese von Z

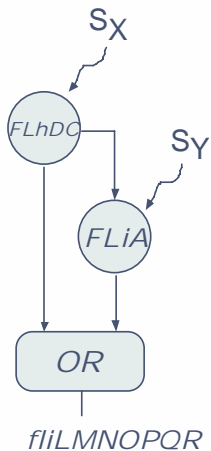


Quelle:

A coherent feed-forward loop with a SUM input function prolongs flagella expression in Escherichia coli



## Diskussion / biologischer Hintergrund



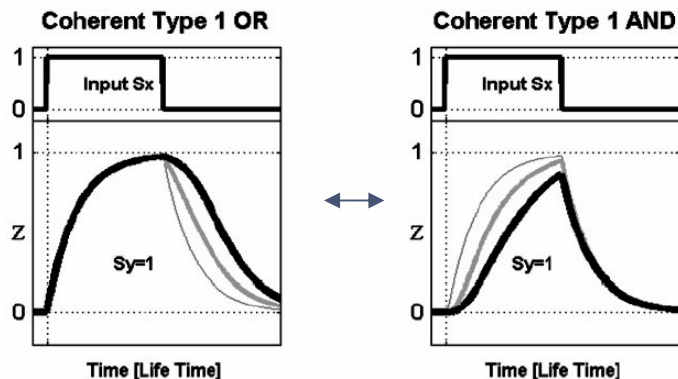
Warum verlängerte Z-expression nachdem Abschaltung von Master-Aktivator?

- 
- Master-Aktivator von Vielzahl externer Parameter beeinflusst (Temperatur, Nährstoffe...)
  - Parameter ändern sich, wenn E.coli schwimmt
  - Flagellensystem unsensibel bei kurzzeitiger Inaktivierung von X
  - Flagellensystem erst deaktiviert, bei langfristig guten Konditionen



## Übersicht kohärente FFL (Verzögerung)

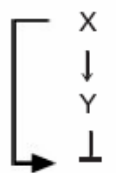
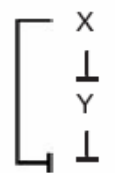

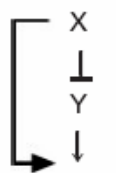
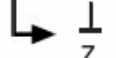
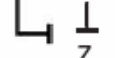
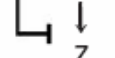

Species	Coherent type 1		Coherent type 2		Coherent type 3		Coherent type 4	
	Structure	Abundance	Structure	Abundance	Structure	Abundance	Structure	Abundance
<i>E. coli</i>		28		2		4		1
<i>S. cerevisiae</i>		26		5		0		0
Z Logic→	AND	OR	AND	OR	AND	OR	AND	OR
Steady-state $Z(S_x, S_y)$	$S_x \wedge S_y$	$S_x$	$\bar{S}_x \wedge S_y$	$\bar{S}_x$	$\bar{S}_x$	$\bar{S}_x \wedge \bar{S}_y$	$S_x$	$S_x \vee \bar{S}_y$
Response delay Sx on step	Delay	—	—	Delay	—	—	Delay	Delay
Sx off step	—	Delay	Delay	—	Delay	Delay	—	—
Inverted out	No	No	Yes	Yes	Yes	Yes	No	No



Quelle:  
Structure and function of the feed-forward loop network motif



## Übersicht Inkohärente FFL (Beschleunigung, Puls)

Species	Incoherent type 1		Incoherent type 2		Incoherent type 3		Incoherent type 4	
	Structure	Abundance	Structure	Abundance	Structure	Abundance	Structure	Abundance
<i>E. coli</i>		5		0		1		1
<i>S. cerevisiae</i>		21		3		1		0
Z logic →		AND		AND		AND		AND
Steady-state Z(S <sub>x</sub> ,S <sub>y</sub> )		$S_x \wedge \bar{S}_y$		$\bar{S}_x \wedge \bar{S}_y$		0		0
Pulse								
S <sub>x</sub> on step		Weak		—		—		Strong
S <sub>x</sub> off step		—		Weak		Strong		—
S <sub>y</sub> effect		Destroy		Destroy		Enable		Enable
Response acceleration								
S <sub>x</sub> on step		Accelerate		—		—		Accelerate
S <sub>x</sub> off step		—		Accelerate		Accelerate		—

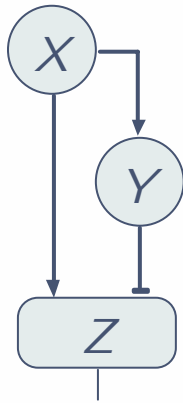
Quelle:

Structure and function of the feed-forward loop network motif

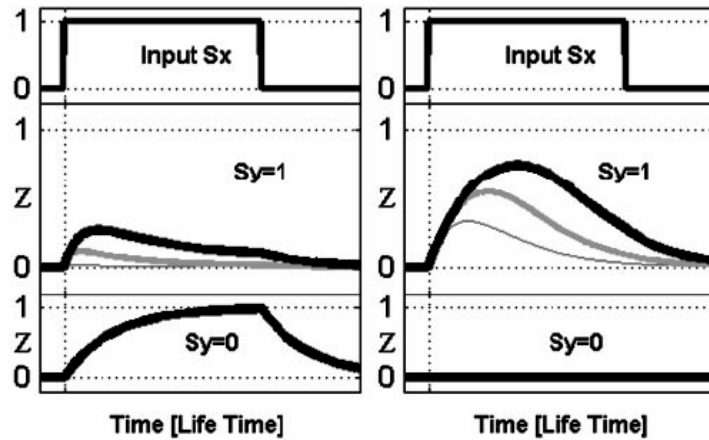


## Inkohärente FFL - Pulsgeber

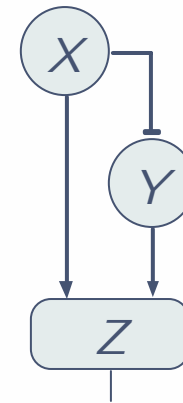
Typ 1



Incoherent Type 1 AND Incoherent Type 4 AND



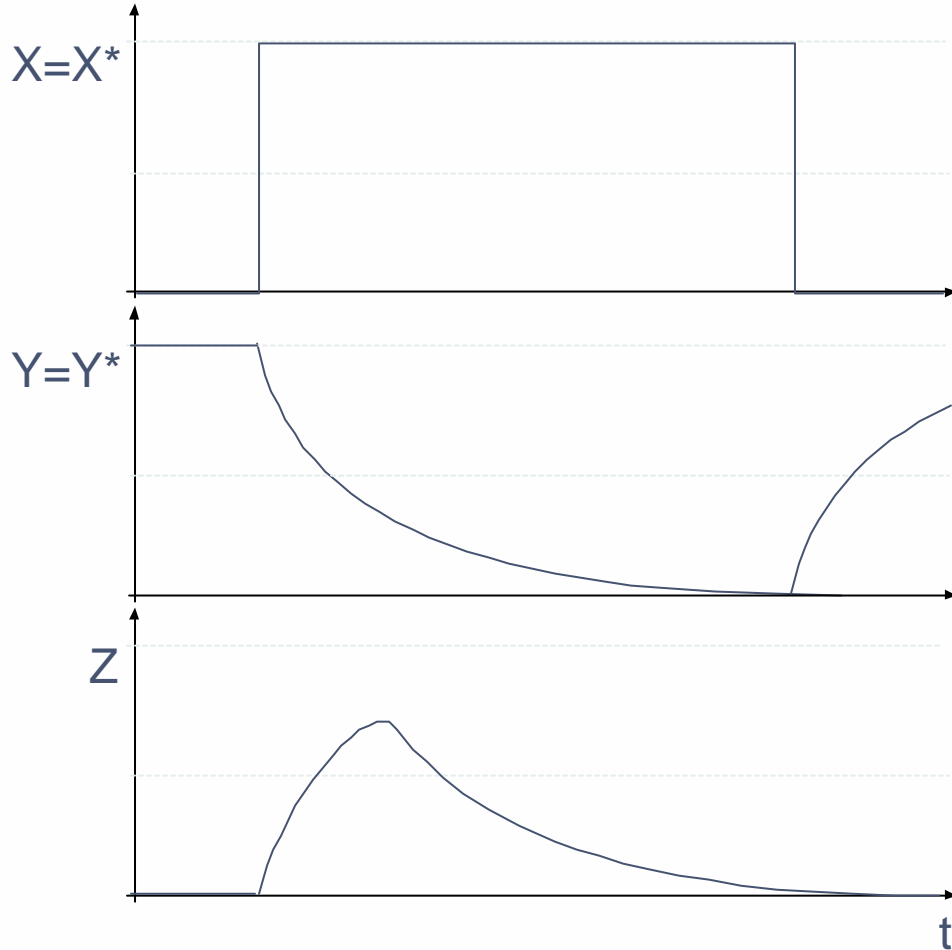
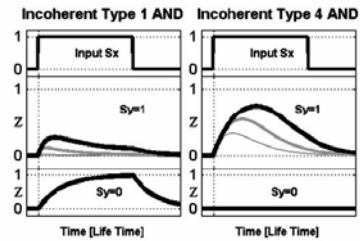
Typ 4



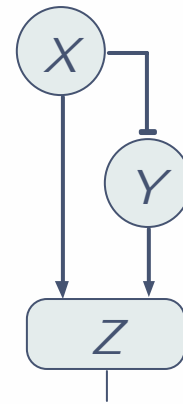




## Inkohärente FFL - Pulsgeber



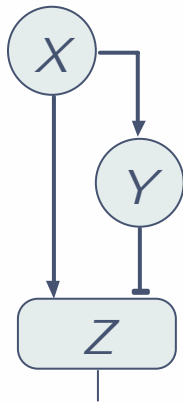
Typ 4



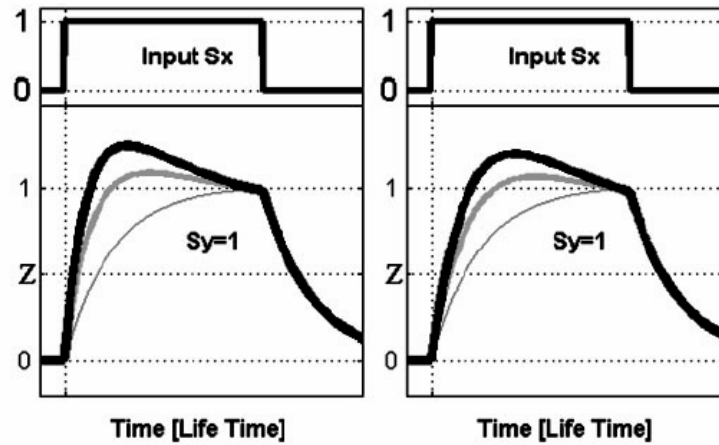


## Inkohärente FFL - Beschleunigung

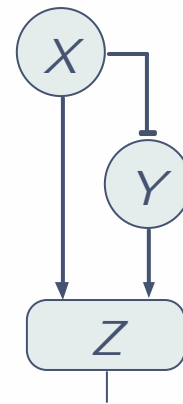
Typ 1



Incoherent Type 1 AND Incoherent Type 4 AND

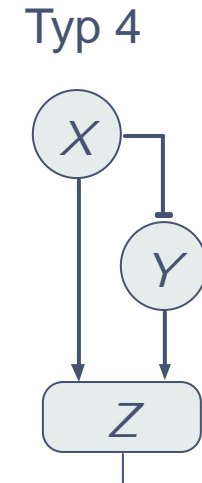
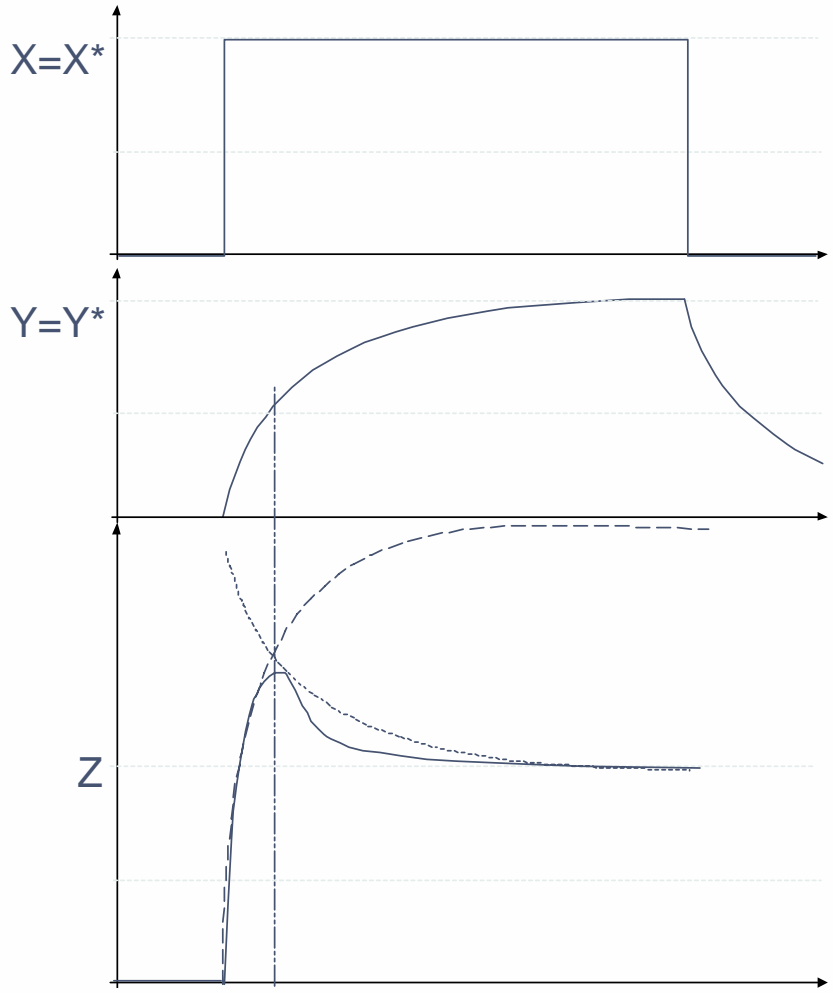
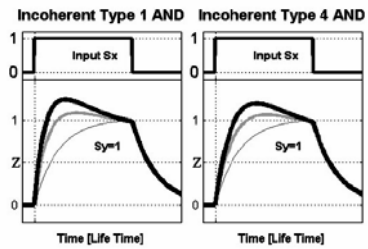


Typ 4





## Inkohärente FFL - Beschleunigung





## Zusammenfassung / Diskussion

- kohärente FFL verzögern Zielgen-Antwort
- Inkohärente FFL beschleunigen Zielgen-Antwort oder pulsieren
- FFL vorzeichensensitiv
- AND / OR Logic
- Kohärente Typ1 FFL am häufigsten (E.coli & Hefe)
  - => arbeitet mit Kooperativität
- Persistenz-Detektor



## Papers

1. A coherent feed-forward loop with a SUM input function prolongs flagella expression in *Escherichia coli*  
[Shiraz Kalir, Shmoolik Mangan and Uri Alon\*]
2. The Coherent Feedforward Loop Serves as a SignsensitiveDelay Element in Transcription Networks  
[S. Mangan, A. Zaslaver and U. Alon\*]
3. Structure and function of the feed-forward loop network motif  
[S. Mangan and U. Alon†]